

電磁流速計による振動流の計測特性について

名城大学理工学部 正会員 伊藤政博
学生 大久保博之

1. はじめに。

海岸堤防の法先が静水面下にあると、堤脚部に波による局所的浸食が発生しやすく、さらに堤防決壊の引き金になることが少なくない。 $T=1\text{ sec}$ 。このより長い堤防前面の海流変形および流速を実測する方法として、従来より水槽模擬実験が実施されてきた。その多くは、堤防前面のみ。

流速計および流速計を起用した動き、つまり水粒子運動機構を調べるためにトレーー粒子を投入し 16mm カメラで撮影、差歪式流速計およびレーザートップオフ型流速計を用いて計測が行われている。これらの測定方法は、いずれも振動流水中に砂粒子(漂砂)が多く含まれるうえに加えて、計測が難しかなくなつた。そこで、より簡単に余り受けない電磁流速計をこの種の実験に利用するべく失立して、計測特性を調べる。

2. 実験装置および実験方法

電磁流速計を堤防前面のように波と流れが共存する場所に使用するため、まず、流れのみにおける計測特性を調べる。循環式水路を用ひ、流水の水深を 14cm とし、底面から 7cm の高さに電磁流速計のセンサーをセットした。実際の測定では、センサーに対して任意の方向(0~360°)から流れが来る上と想定して、センサーの測定回軸への取付け角θを調整して、表-1 のように変化させた。電磁流速計からの出力(電圧)は、図-1 の AD 複換器を通してパーソナルコンピューターのメモリへ直接転送させ、実験結果をよりにして。

次に、波と流れが共存する場合として、センサーを取り付けて測定回軸、図-1 および表-1 で示すようにクランクで往復運動($T=1, 2\text{ sec}$)させ、開水路内の流水中にセンサーを入れて、波と流れの共存場を再現した。

なお、流速変動は電磁流速計に x' , y' 方向合計である ($\pm 5\text{ Volt}$) されど、これを AD 複換器で 0.02 sec 時間でサンプリングし、パーソナルコンピューターで 40 秒間(センサーの動き、 x' 方向、流速成分 X_u , y' 方向、流速成分 Y'_u をそれぞれ 2000 個)データを取り込んだ。この測定結果をハートユニーバーサル-22 ある。

3. 実験結果および考察

T (sec)	u' (cm/s)	θ (deg)
0	20	0
	40	30
	60	60
	80	120
1	60	135
	80	150
	100	180
	120	210
		225
		240
2	100	300
	120	315
		330

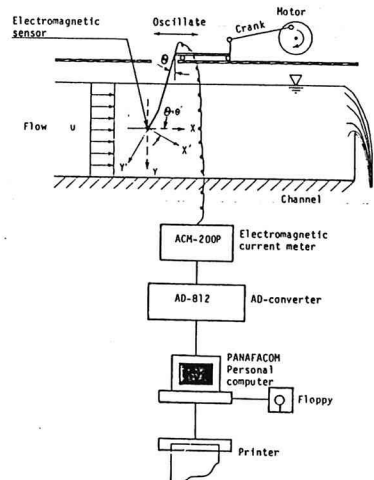


図-1. 実験装置の概略と計測実験機器

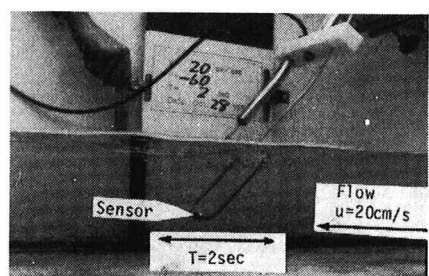


写真-1. 流水中で往復振動するセンサー。

波と流れの共存状態 乱れの流連者動作、衝撃

流連計は X' , Y' 方向成分として本力計測法の
で、これをハーフピット管によって全圧 $R_v =$
 $\sqrt{(X_u)^2 + (Y_u)^2}$ として計算し、ピット管で測定し
て流連ひとの実験結果を整理する。つまり、波と
流れの共存状態を機械的に再現してみることで、波

の実験装置輸送速度は零となり、流れの成分のうち衝撃と 図-2. 計測結果(入射波)

で計算されることがある。表-1のすべての実験条件の
組合せについて、 R_v とひとの実験結果を整理し、それは
らつきの範囲を含むかと周囲のようである。この周
から、衝撃流連計からの全圧 R_v とピット管による流
連 U' とは $U' = R_v \sin \theta$ の関係がある。この関係は、次のようく表わせる。

$$U' = 50 R_v \text{ (cm/s)}$$

従って、この式から、衝撃流連計の実験結果がわかれば
流連を求めることがわかる。

次に、衝撃流連計のセンサーで検出される流連 X'_u ,
 Y'_u 放大されたセンサーに対する流れの方向 $\theta + \theta' = \tan^{-1}(Y'_u/X'_u)$ を、波 ($T=1, 2 \text{ sec}$) と流れ ($U'=20, 40, 60,$
 $80, 100, 120 \text{ cm/s}$) を組合せた条件下で整理した結果を図-4に示す。図-4では、特に、センサーの取付け角 $\theta = 0^\circ, 90^\circ, 180^\circ, 270^\circ$ の場合の印を大きくして示してある。この図から、 $\theta + \theta'$ がセンサーの取付け角より大きいときは θ' である。これは、堤防前面の流連場の計測がや
すいようにセンサーの取付け支柱を曲げておいたものである。
そこで、 θ と θ' の関係を流れのみと波と流れの場合とに
分けて整理した結果が図-5に示してある。この図から、
いずれの場合も、 $\theta \neq -\theta'$ となる。従って、この θ'
の差がセンサーの支柱の間隔に対する影響角を表わしてい
るといえよう。

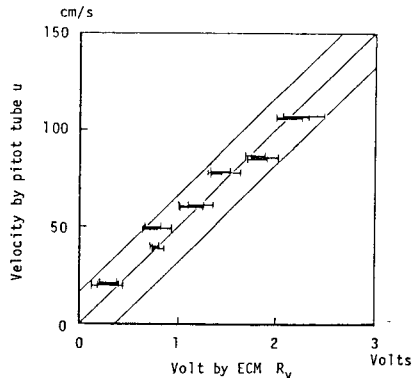
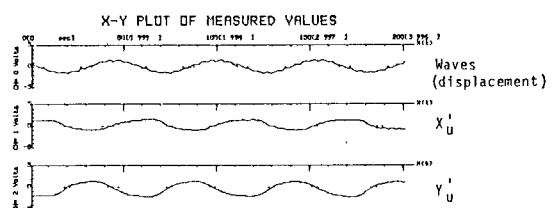


図-3. 全圧 R_v と流連ひとの関係

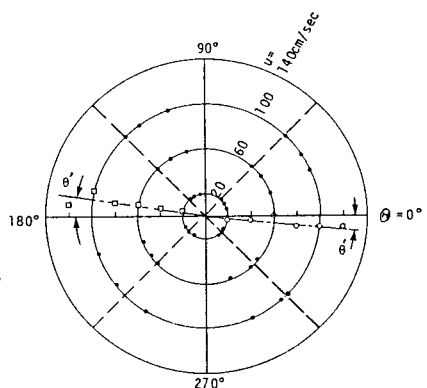
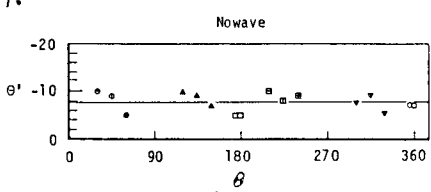
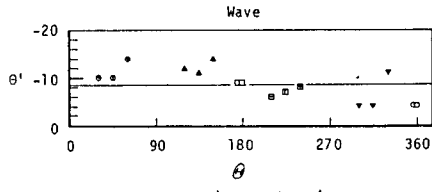


図-4. センサー取付け角 θ ・センサー支柱間隔角 θ'



(a) 流れのみ



(b) 波と流れの共存場

図-5 センサー支柱の間隔に対する影響角